

Universidade Estadual de Campinas

MC920 - Introdução ao processamento de
imagem digital

Trabalho 1

Felipe Hideki Matoba
RA: 196767

Sumário

1	Introdução	2
1.1	Resumo	2
1.2	Ambiente de execução	2
2	Imagens coloridas	2
2.a	Item a	2
2.b	Item b	3
3	Imagens monocromáticas	4
3.1	Filtros h1 e h2	5
3.2	Filtros h3 e h8	6
3.3	Filtros h4 e h9	7
3.4	Filtros h5 e h6	8
3.5	Filtro h7	9
4	Conclusão	10
5	Máscaras	11

1 Introdução

1.1 Resumo

Neste trabalho serão implementadas e discutidas as primeiras operações em imagens. Para as imagens coloridas serão feitas duas modificações, em uma os valores de RGB serão alterados segundo uma fórmula e na outra a imagem será convertida para monocromática. Nas imagens monocromáticas será aplicada a operação de correlação segundo as máscaras encontradas na seção 5.

1.2 Ambiente de execução

O código foi feito utilizando o Jupyter Notebook, com a inclusão das seguintes bibliotecas:

- skimage, versão 0.17.2
- numpy, versão 1.19.2
- matplotlib, versão 3.3.2

Para executar o código, basta executar cada célula do notebook, com o cuidado de rodar a importação das bibliotecas pertinentes e a definição das funções (especificamente para o caso das imagens monocromáticas) previamente.

2 Imagens coloridas

2.a Item a

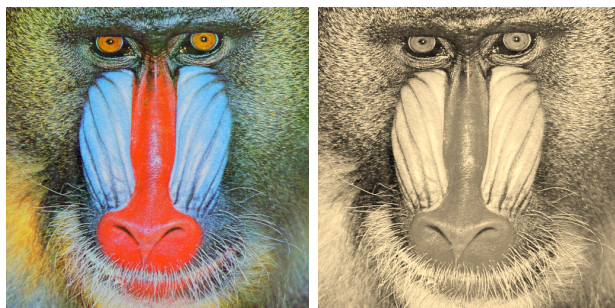
Neste item, para cada pixel da imagem os valores de R, G e B foram alterados segundo a fórmula a seguir:

$$R' = 0.393R + 0.769G + 0.189B$$

$$G' = 0.349R + 0.686G + 0.168B$$

$$B' = 0.272R + 0.534G + 0.131B$$

A imagem original e a resultante podem ser vistas a seguir:



(a) Imagem original (b) Imagem alterada

Figura 1: Comparação entre a imagem original e a resultante do primeiro filtro

A imagem gerada pela aplicação do filtro assemelha-se bastante com o que se espera da aplicação de um filtro do tipo sépia, que confere à imagem um tom fortemente amarelado.

Observando a fórmula aplicada, nota-se que os novos valores para as cores da imagem atribuem um peso maior para o R (vermelho) e G (verde), especialmente esta última. Além disso, temos que o valor de R da nova imagem será sempre o maior, seguido do G e, por último, do B, devido a diferença dos pesos em cada fórmula.

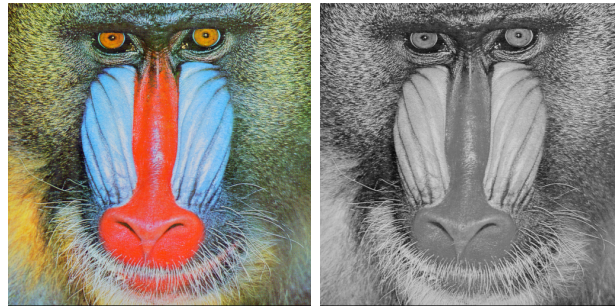
De fato, calculando os valores médios dos pixels RGB obtemos 173.3, 154.8 e 120.5, respectivamente. Temos, então, que o tom amarelado origina de valores de azul mais baixos.

2.b Item b

Desta vez, a imagem resultante possuirá apenas uma banda, resultado de uma média ponderada entre os valores de RGB, dada pela seguinte fórmula:

$$I = 0.2989R + 0.5870G + 0.1140B$$

Intuitivamente, teremos uma imagem monocromática, que pode ser observada a seguir:



(a) Imagem original (b) Imagem alterada

Figura 2: Comparação entre a imagem original e a resultante do segundo filtro

Destaco que, nesse caso, não é necessário se preocupar com valores acima de 255 (máximo valor na escala de cinza), pois os valores de RGB também são limitados a 255 e uma operação de média ponderada não poderá gerá-los.

3 Imagens monocromáticas

Para a aplicação dos filtros foi feita uma função *filter*, onde o tratamento aplicado para valores de pixels fora do intervalo esperado, de $[0, 255]$, foi simplesmente limitá-los a esse intervalo, ou seja, valores negativos foram transformados em zero, enquanto números acima de 255 tornaram-se 255. Como será discutido adiante, isso gerou problemas na combinação dos filtros *h1* e *h2*, então foi feita uma segunda função, *filterNoTreatment*, que não realizava este tratamento previamente.

Além disso, foi necessário a aplicação de *padding* nas imagens para que a máscara pudesse ser aplicada nas regiões de borda da imagem. Para isso, foi utilizada a função *pad* da biblioteca *numpy*, que realizou o *pad* com zeros. Também foi testado com o valor de 255, mas não houveram mudanças significativas no resultado.

Todas as funções foram feitas de maneira vetorizada, sendo que para a aplicação das máscaras nas imagens monocromáticas foi utilizada a função *view_as_windows* do *sklearn* para auxiliar na subdivisão da matriz da imagem original. Com isso, o desempenho do código aparenta estar bem satisfatório, não demorando mais que poucos segundos para executar com os exemplos utilizados, geralmente de tamanho 512x512.

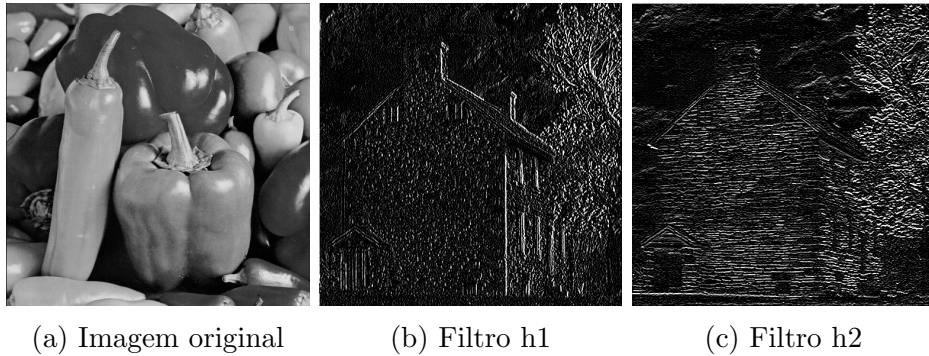


Figura 3: Comparação entre a imagem original e as imagens filtradas com máscaras h1 e h2

3.1 Filtros h1 e h2

Uma análise inicial dos filtros nos permite perceber que em h1 é feita a diferença dos pixels da direita com os da esquerda, enquanto em h2 essa diferença é entre os pixels de baixo com os de cima. Ao observar as imagens resultantes, fica claro o efeito dessa operação na imagem.

É fácil perceber que na figura 3b (filtro h1) temos várias linhas brancas que separam os objetos, orientadas verticalmente, enquanto na 3c (filtro h2) a orientação é na horizontal. Esses filtros detectam, portanto, bordas verticais e horizontais, respectivamente.

De maneira intuitiva, uma combinação desses dois filtros geraria uma imagem com todas as bordas destacadas, o que pode ser feito por meio da operação $\sqrt{(h1)^2 + (h2)^2}$, onde h1 e h2 são as imagens resultantes da aplicação de h1 e h2.

Vale ressaltar que, como comentado no início da seção, o ajuste dos valores da imagem deve ser feito no momento correto. Caso isso seja feito antes de se realizar a conta que gera a imagem combinada, muita informação é perdida e a imagem não tem o resultado esperado. Abaixo seguem os resultados do ajuste antes e depois do cálculo da nova imagem.



(a) Combinação dos filtros com perda (b) Combinação dos filtros sem perda

Figura 4: Comparação entre as imagens resultantes da combinação do filtro, com e sem perda de informação

Perceba que a imagem gerada com perda de informação é extremamente escura, o que pode ser explicado pelo fato de que as imagens geradas por $h1$ e $h2$ possuíam muitos valores negativos que foram zerados e, portanto, geram valores muito baixos na imagem combinada, que correspondem a tons escuros.

Quando esse corte não é feito, os valores negativos, elevados ao quadrado, geram números mais altos para a imagem 4b, que tem as bordas em branco, ou seja, com valores próximos a 255, como era esperado.

3.2 Filtros $h3$ e $h8$

Esses dois filtros foram agrupados nessa seção por possuírem um formato bem semelhante: consistem na diferença entre o pixel central e os na vizinhança, sendo que a soma dos pesos dos pixels vizinhos é igual ao do central.

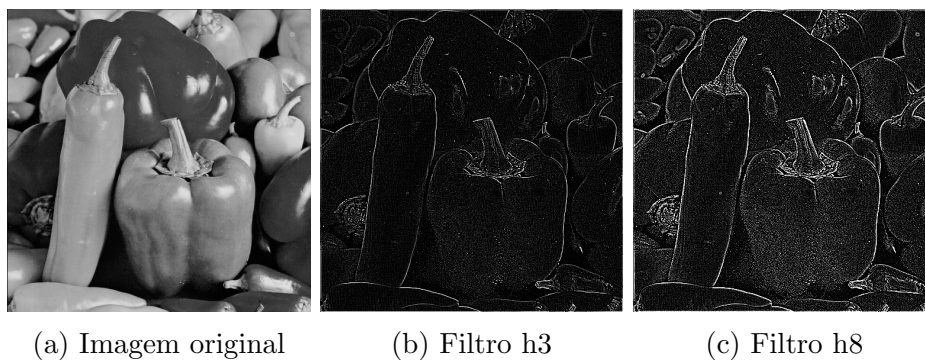


Figura 5: Comparação entre a imagem original e as imagens filtradas com as máscaras h3 e h8

Lembrando do resultado dos filtros h1 e h2, que consistiam na diferença entre os pixels na horizontal e vertical, nesse caso podemos esperar uma detecção de borda em todas as orientações, semelhante com o resultado obtido pela combinação dos filtros h1 e h2, o que de fato ocorre.

Observe que o filtro h8 aparenta ser mais sensível do que o h3, o que pode ser explicado pelo fato de que a matriz utilizada é maior (5x5).

3.3 Filtros h4 e h9

Dessa vez, temos dois filtros que tiram uma média entre o pixel central e aqueles em sua vizinhança.

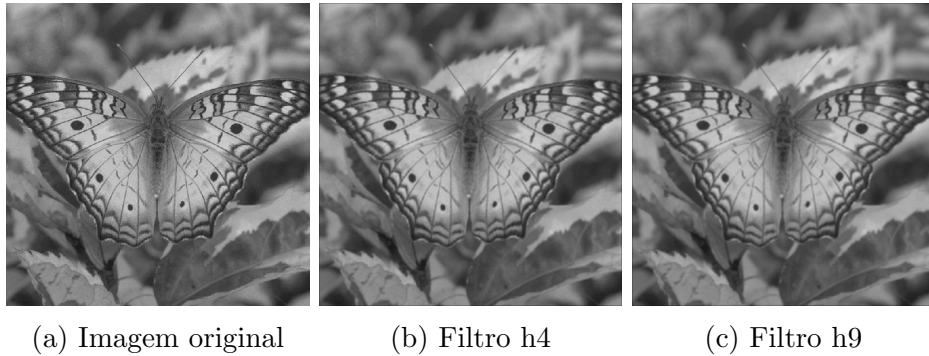


Figura 6: Comparação entre a imagem original e as imagens filtradas com as máscaras h4 e h9

O efeito desses filtros é de reduzir a definição das imagens, pois a diferença entre pixels vizinhos é diminuída pelo cálculo da média, aritmética em h4 e ponderada em h9.

A diferença entre as imagens filtradas não é realmente perceptível, apesar do tamanho da máscara do segundo ser maior, possivelmente porque o pixel central possui um peso maior no cálculo da média, o que diminuiria o efeito de borramento.

3.4 Filtros h5 e h6

Novamente, temos uma máscara que considera a diferença entre pixels, dessa vez entre a diagonal secundária e os demais pixels no caso de h5 e a diagonal principal e os outros pixels para h6. O resultado é, como se espera, semelhante a uma detecção de borda, dessa vez nas diagonais.

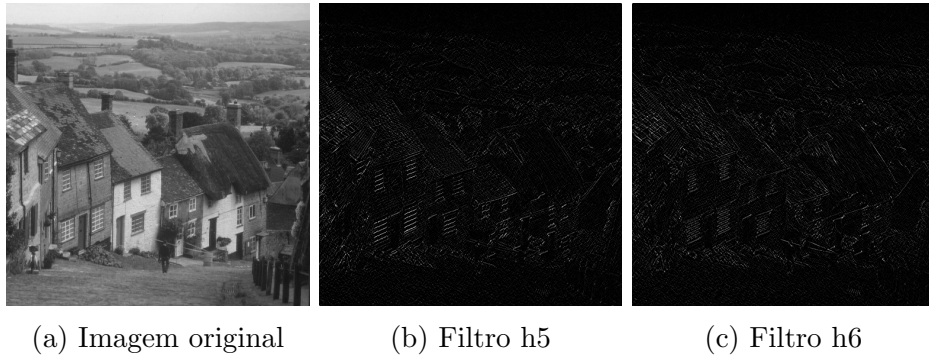
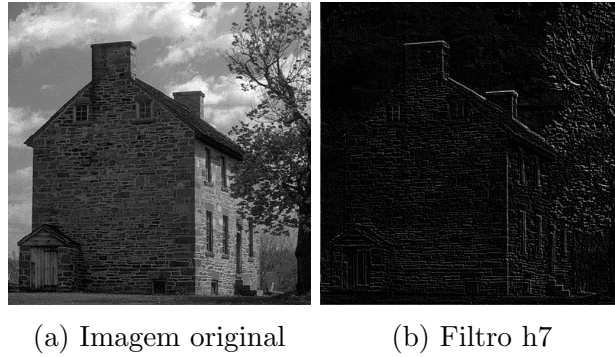
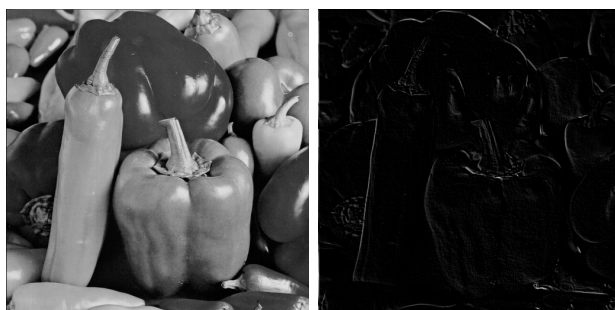


Figura 7: Comparação entre a imagem original e as imagens filtradas com as máscaras h5 e h6

3.5 Filtro h7

Finalmente, o filtro h7 simplesmente subtrai o pixel inferior esquerdo do pixel superior direito, considerando uma matriz 3×3 , sendo que podemos esperar, novamente, algum tipo de detecção de borda desse filtro.





(a) Imagem original

(b) Filtro h7

Figura 9: Comparação entre a imagem original e a imagem gerada pelo filtro h7

Esse filtro aparenta ser especialmente bom para detectar as texturas dos exemplos apresentados, mas sua função primária provavelmente é de detecção de bordas.

4 Conclusão

Neste trabalho foram realizadas as primeiras operações em imagens, que nos ajuda a entender melhor como funciona o processo de filtragem, tão presente no cotidiano moderno após a popularização dos smartphones.

Também foi adquirida uma intuição melhor com o uso do numpy e, portanto, da vetorização do código, algo que não é usual de se utilizar em outras disciplinas, o que será muito importante para o futuro desse curso e da carreira profissional.

Por fim, com a aplicação de máscaras nas imagens, também foi possível visualizar o efeito que diferentes pesos e operações aplicados em regiões específicas das máscaras pode ter no resultado, seja por meio de médias, adições ou subtrações.

5 Máscaras

$$h1 = \begin{bmatrix} -1 & 0 & 1 \\ -2 & 0 & 2 \\ -1 & 0 & 1 \end{bmatrix} \quad h2 = \begin{bmatrix} -1 & -2 & -1 \\ 0 & 0 & 0 \\ 1 & 2 & 1 \end{bmatrix} \quad h3 = \begin{bmatrix} -1 & -1 & -1 \\ -1 & 8 & -1 \\ -1 & -1 & -1 \end{bmatrix}$$

$$h4 = \frac{1}{9} \begin{bmatrix} 1 & 1 & 1 \\ 1 & 1 & 1 \\ 1 & 1 & 1 \end{bmatrix} \quad h5 = \begin{bmatrix} -1 & -1 & 2 \\ -1 & 2 & -1 \\ 2 & -1 & -1 \end{bmatrix} \quad h6 = \begin{bmatrix} 2 & -1 & -1 \\ -1 & 2 & -1 \\ -1 & -1 & 2 \end{bmatrix} \quad h7 = \begin{bmatrix} 0 & 0 & 1 \\ 0 & 0 & 0 \\ -1 & 0 & 0 \end{bmatrix}$$

$$h8 = \begin{bmatrix} 0 & 0 & -1 & 0 & 0 \\ 0 & -1 & -2 & -1 & 0 \\ -1 & -2 & 16 & -2 & -1 \\ 0 & -1 & -2 & -1 & 0 \\ 0 & 0 & -1 & 0 & 0 \end{bmatrix} \quad h9 = \frac{1}{256} \begin{bmatrix} 1 & 4 & 6 & 4 & 1 \\ 4 & 16 & 24 & 16 & 4 \\ 6 & 24 & 36 & 24 & 6 \\ 4 & 16 & 24 & 16 & 4 \\ 1 & 4 & 6 & 4 & 1 \end{bmatrix}$$